

Fig.1.5.7: Gráficos de la función espectral (cm h^{-1}) de la componente no periódica del nivel del mar en el dominio de las frecuencias medias en la estación de Manzanillo (1993) - serie 1 y (1994) - serie 2, calculada con un corrimiento máximo de la función de correlación igual a 800.

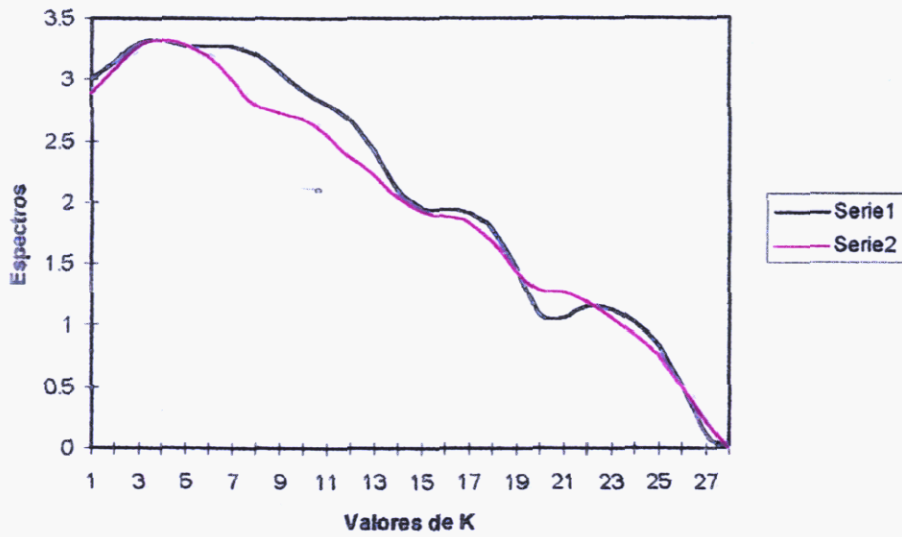


Fig. 1.5.8: Gráficos de la función espectral (cm h^{-1}) de la componente no periódica del nivel del mar en el dominio de las frecuencias medias de la temporada invernal de las estaciones de Manzanillo (1993-1994) - serie 1 y Santa Cruz del Sur (1994-1995) - serie 2, calculada con un corrimiento máximo de la función de correlación igual a 430.

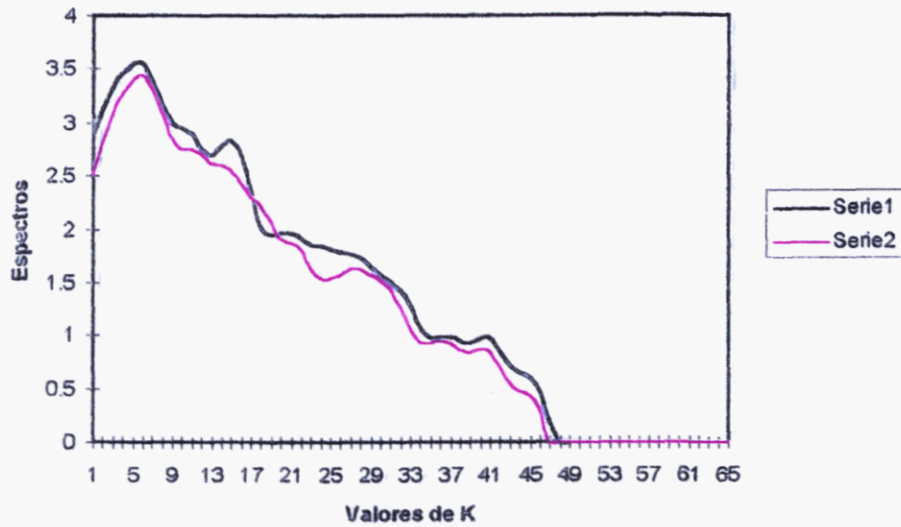


Fig. 1.5.5: Gráficos de la función espectral (cm h^{-1}) de la componente no periódica en el dominio de las frecuencias medias en las estaciones de Casilda (1993) - serie 1 y Cabo Cruz (1993) - serie 2, calculadas con un corrimiento máximo de la función de correlación igual a 800.

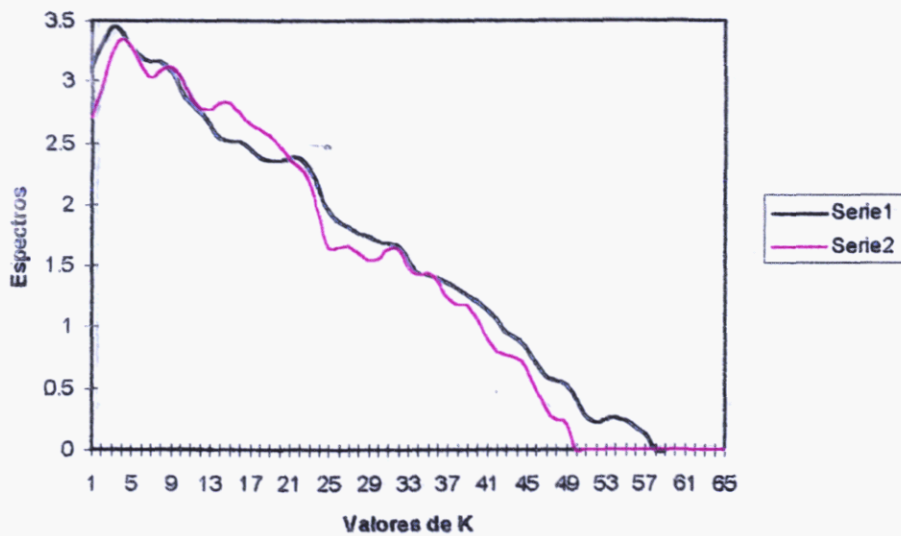


Fig. 1.5.6: Gráficos de la función espectral (cm h^{-1}) de la componente no periódica en el dominio de las frecuencias medias en la estación de Santa Cruz del Sur (1994) - serie 1 y (1995) - serie 2, calculada con un corrimiento máximo de la función de correlación igual a 800.

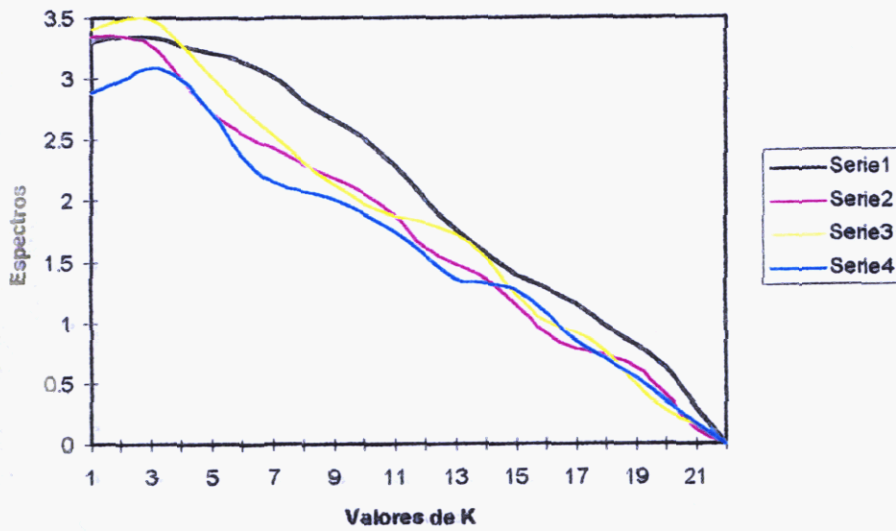


Fig. 1.5.3: Gráficos de la función espectral (cm h^{-1}) de la componente no periódica en el dominio de las frecuencias medias de la temporada ciclónica en las estaciones de Batabanó (1991) - serie 1, La Coloma (1991) - serie 2, La Coloma (1992) - serie 3 y Cayo Largo del Sur (1983) - serie 4, calculadas con un corrimiento máximo de la función de correlación igual a 360.

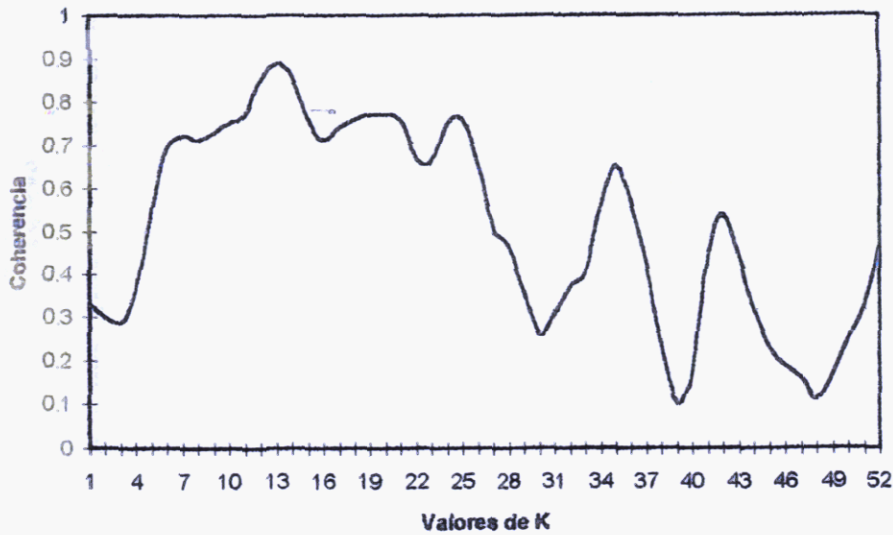


Fig. 1.5.4: Gráfico de la coherencia de la componente no periódica en el dominio de las frecuencias medias entre las estaciones de Batabanó y La Coloma (1991) calculada con un corrimiento máximo de la función de correlación igual a 800.